

М.В. Абакумов

МЕТОД ПОСТРОЕНИЯ РАЗНОСТНЫХ СХЕМ ГОДУНОВСКОГО ТИПА В КРИВОЛИНЕЙНЫХ КООРДИНАТАХ И ЕГО ПРИМЕНЕНИЕ ДЛЯ СФЕРИЧЕСКИХ КООРДИНАТ *

Введение

Разностные схемы годуновского типа широко используются в различных прикладных задачах вычислительной газовой динамики. Поскольку подобные схемы являются явными, их применение особенно эффективно в расчетах двумерных и трехмерных задач, требующих для численного решения большого количества временных шагов. К таковым, например, относятся задачи астрофизики, в которых зачастую необходимо моделирование течений газа на продолжительных временных промежутках.

Схемы годуновского типа являются консервативными [1], [2], [3], поскольку в ходе их построения разностные уравнения записываются в дивергентной форме, в которой разностные газодинамические потоки, как правило, относятся к границам ячеек вводимой пространственной сетки. Основная проблема при построении подобных схем состоит в адекватной аппроксимации потоков на границах ячеек по значениям газодинамических функций в их центрах. С.К.Годуновым [4], [5] было предложено аппроксимировать потоки на основе точного решения задачи Римана о распаде произвольного разрыва. Реализация подобного подхода требует большого объема вычислений, поскольку предполагает решение нелинейных алгебраических уравнений в каждом узле разностной сетки. По этой причине в дальнейшем были предложены схемы, в которых задача Римана решается приближенно (см., например, [6]–[10]).

Построение схем годуновского типа в криволинейных координатах обладает определенной спецификой. Это объясняется тем, что в криволинейных координатах даже исходные дифференциальные уравнения газовой динамики зачастую не удается записать в дивергентной форме, поскольку вследствие криволинейности системы координат в правой части уравнений появляются дополнительные слагаемые.

* Работа выполнена при поддержке РФФИ, проекты №12-01-00606 и НШ-6061.2014.2.

В настоящей работе предлагается достаточно общий метод построения консервативных разностных схем газовой динамики в ортогональных криволинейных координатах на основе произвольной схемы Годуновского типа для декартовых координат. При построении схемы в криволинейных координатах алгоритмы вычисления потоков базовой декартовой схемы не модифицируются. Это позволяет реализовать схему в криволинейных координатах путем внесения небольших дополнений в имеющийся программный код декартовой схемы.

Статья является продолжением работы [11], в которой метод построения схем в криволинейных координатах описывался на примере цилиндрических координат. Для удобства читателя здесь также приводится система уравнений сжимаемого вязкого газа в произвольной ортогональной системе координат для случая произвольного симметричного тензора напряжений и дается общее описание предлагаемого метода. В обычном предположении линейной зависимости тензора напряжений второго ранга от производных скорости по пространству получаются уравнения в сферических координатах. Строится разностная схема общего вида, в которой алгоритм вычисления сеточных потоков базовой декартовой схемы считается известным. Приводится вид разностных добавок к сеточным потокам, обеспечивающих консервативную аппроксимацию вязких слагаемых в уравнениях движения и энергии.

Проводятся трехмерные тестовые расчеты течений вязкого и невязкого газа по построенной схеме второго порядка аппроксимации по пространству, в которой сеточные потоки вычисляются методом Роу [8] с модификациями Эйнфельдта [9] и Ошера [10].

Автор выражает глубокую благодарность чл.-корр. РАН, профессору Попову Ю.П. за ценные замечания и интерес к работе.

1. Рассматриваемая система уравнений

Рассмотрим инвариантную форму уравнений сжимаемого вязкого идеального газа (см. [12], [13], [14]):

$$\begin{aligned} \frac{\partial \rho}{\partial t} + \operatorname{div}(\rho \mathbf{v}) &= 0, \\ \frac{\partial(\rho \mathbf{v})}{\partial t} + \operatorname{div}(\rho \mathbf{v} \mathbf{v}) &= \operatorname{div} \mathbf{\Pi}, \\ \frac{\partial(\rho E)}{\partial t} + \operatorname{div}(\rho E \mathbf{v}) &= \operatorname{div}(\mathbf{\Pi} \mathbf{v}), \\ E &= \varepsilon + \mathbf{v}^2/2, \quad \mathbf{\Pi} = -p \mathbf{I} + \boldsymbol{\sigma}, \end{aligned} \quad (1.1)$$

с уравнением состояния $p = (\gamma - 1)\rho\varepsilon$. Здесь t – время, ρ – плотность газа, p – давление, ε – удельная (массовая) внутренняя энергия, E – пол-

ная удельная энергия, \mathbf{v} – скорость газа, γ – показатель адиабаты, $\mathbf{\Pi}$ – тензор напряжений, \mathbf{I} – единичный тензор, $\boldsymbol{\sigma}$ – тензор вязких напряжений.

В прямоугольной декартовой системе координат (y_1, y_2, y_3) компоненты тензора $\boldsymbol{\sigma}$ определяются следующим образом (см. [12], [13], [14]):

$$\sigma_{ik} = \sigma_{ki} = \mu \left(\frac{\partial v_k}{\partial y_i} + \frac{\partial v_i}{\partial y_k} - \frac{2}{3} \delta_{ik} \operatorname{div} \mathbf{v} \right) + \zeta \delta_{ik} \operatorname{div} \mathbf{v},$$

где $\mu > 0$ – коэффициент динамической вязкости, ζ – коэффициент второй вязкости, δ_{ik} – символ Кронекера.

В произвольной ортогональной системе координат (x^1, x^2, x^3) система уравнений (1.1) для симметричного тензора $\mathbf{\Pi}$ примет вид:

$$\begin{aligned} \frac{\partial \rho}{\partial t} + \frac{1}{\sqrt{g}} \sum_{i=1}^3 \frac{\partial}{\partial x^i} \left(\frac{\sqrt{g}}{H_i} \rho v_i \right) &= 0, \\ \frac{\partial (H_k \rho v_k)}{\partial t} + \frac{1}{\sqrt{g}} \sum_{i=1}^3 \frac{\partial}{\partial x^i} \left(\sqrt{g} \frac{H_k}{H_i} (\rho v_k v_i - p_{ik}) \right) &= \sum_{i=1}^3 \frac{1}{H_i} (\rho v_i^2 - p_{ii}) \frac{\partial H_i}{\partial x^k}, \\ \frac{\partial (\rho E)}{\partial t} + \frac{1}{\sqrt{g}} \sum_{i=1}^3 \frac{\partial}{\partial x^i} \left(\frac{\sqrt{g}}{H_i} \left(\rho E v_i - \sum_{k=1}^3 p_{ik} v_k \right) \right) &= 0, \end{aligned} \quad (1.2)$$

где H_i – коэффициенты Ламе [15], $g = H_1^2 H_2^2 H_3^2$. В рассматриваемом случае $p_{ik} = -p \delta_{ik} + \sigma_{ik}$. Подробный вывод этих уравнений и последующих равенств можно найти, например, в работе [16].

Приведем выражения для компонент тензора вязких напряжений $\boldsymbol{\sigma}$, который удобно представить в виде суммы двух тензоров \mathbf{A} и \mathbf{B} :

$$\boldsymbol{\sigma} = \mu \mathbf{A} + \lambda \mathbf{B}, \quad \mathbf{B} = \mathbf{I} \operatorname{div} \mathbf{v}, \quad \lambda = \zeta - \frac{2}{3} \mu,$$

компоненты которых в декартовых координатах имеют вид:

$$a_{ik} = \frac{\partial v_i}{\partial y_k} + \frac{\partial v_k}{\partial y_i}, \quad b_{ik} = \delta_{ik} \operatorname{div} \mathbf{v}.$$

В ортогональных криволинейных координатах

$$\begin{aligned} a_{ik} &= \frac{1}{H_i H_k} \left[H_i \frac{\partial v_i}{\partial x^k} + H_k \frac{\partial v_k}{\partial x^i} - v_i \frac{\partial H_i}{\partial x^k} - v_k \frac{\partial H_k}{\partial x^i} + \delta_{ik} \sum_{m=1}^3 \frac{v_m}{H_m} \frac{\partial (H_i H_k)}{\partial x^m} \right], \\ b_{ik} &= \frac{\delta_{ik}}{\sqrt{g}} \sum_{m=1}^3 \frac{\partial}{\partial x^m} \left(\sqrt{g} \frac{v_m}{H_m} \right) = \delta_{ik} \operatorname{div} \mathbf{v}. \end{aligned}$$

При выводе уравнений в сферических координатах также используются равенства:

$$\begin{aligned}
(\operatorname{div}\mathbf{A})_{x^i} &= \frac{1}{H_i\sqrt{g}} \sum_{k=1}^3 \frac{\partial}{\partial x^k} \left(\sqrt{g} \frac{H_i}{H_k} a_{ik} \right) - \frac{1}{H_i} \sum_{k=1}^3 \frac{a_{kk}}{H_k} \frac{\partial H_k}{\partial x^i}, \\
(\operatorname{div}\mathbf{B})_{x^i} &= \frac{1}{H_i\sqrt{g}} \frac{\partial}{\partial x^i} (\sqrt{g} \operatorname{div}\mathbf{v}) - \frac{\operatorname{div}\mathbf{v}}{H_i} \sum_{k=1}^3 \frac{1}{H_k} \frac{\partial H_k}{\partial x^i}, \\
\operatorname{div}(\mathbf{A}\mathbf{v}) &= \sum_{i=1}^3 v_i (\operatorname{div}\mathbf{A})_{x^i} + \frac{1}{2} \sum_{i,k=1}^3 a_{ik}^2, \\
\operatorname{div}(\mathbf{B}\mathbf{v}) &= \frac{1}{\sqrt{g}} \sum_{k=1}^3 \frac{\partial}{\partial x^k} \left(\frac{\sqrt{g} v_k \operatorname{div}\mathbf{v}}{H_k} \right).
\end{aligned}$$

Выпишем систему уравнений сжимаемого вязкого газа в сферической системе координат (r, φ, ψ) . Переход от сферических координат к прямоугольным декартовым координатам (x, y, z) определяется равенствами:

$$x = r \cos \varphi \cos \psi, \quad y = r \sin \varphi \cos \psi, \quad z = r \sin \psi.$$

Координата r задает расстояние от точки $M(x, y, z)$ до начала координат, φ – полярный угол, ψ – угол между радиус-вектором точки M и плоскостью (x, y) .

В сферических координатах:

$$H_1 = H_r = 1, \quad H_2 = H_\varphi = r \cos \psi, \quad H_3 = H_\psi = r, \quad \sqrt{g} = r^2 \cos \psi.$$

Подставляя эти значения в систему (1.2) и используя безиндексные обозначения $\mathbf{v} = (u, v, w) = (v_r, v_\varphi, v_\psi)$, запишем уравнения в следующей форме:

$$\frac{\partial \mathbf{q}}{\partial t} + \frac{\partial \mathbf{F}}{\partial r} + \frac{1}{r \cos \psi} \frac{\partial \mathbf{G}}{\partial \varphi} + \frac{1}{r} \frac{\partial \mathbf{H}}{\partial \psi} = \mathbf{R} + \mathbf{R}_\sigma,$$

$$\begin{aligned}
\mathbf{q} &= (\rho, \rho u, \rho v, \rho w, \rho E)^T, \\
\mathbf{F} &= (\rho u, \rho u^2 + p, \rho uv, \rho uw, \rho uH)^T, \\
\mathbf{G} &= (\rho v, \rho vu, \rho v^2 + p, \rho vw, \rho vH)^T, \\
\mathbf{H} &= (\rho w, \rho wu, \rho wv, \rho w^2 + p, \rho wH)^T, \\
\mathbf{R} &= -\frac{\rho}{r} \begin{pmatrix} 2u - w \operatorname{tg} \psi \\ 2u^2 - v^2 - w^2 - uw \operatorname{tg} \psi \\ 3uv - 2vw \operatorname{tg} \psi \\ 3uw - (w^2 - v^2) \operatorname{tg} \psi \\ (2u - w \operatorname{tg} \psi)H \end{pmatrix},
\end{aligned}$$

$$\mathbf{R}_\sigma = (0, (\operatorname{div}\boldsymbol{\sigma})_r, (\operatorname{div}\boldsymbol{\sigma})_\varphi, (\operatorname{div}\boldsymbol{\sigma})_\psi, \operatorname{div}(\boldsymbol{\sigma}\mathbf{v}))^T,$$

$$p = (\gamma - 1)\rho\varepsilon, \quad E = \varepsilon + \mathbf{v}^2/2, \quad H = E + p/\rho, \quad \mathbf{v} = (u, v, w). \quad (1.3)$$

Здесь H – полная удельная энтальпия (обозначение не внесет путаницы, поскольку коэффициенты Ламе далее в тексте не используются).

Для компонент тензора вязких напряжений σ получим следующие выражения:

$$\begin{aligned}\sigma_{rr} &= (2\mu + \lambda) \frac{\partial u}{\partial r} + \frac{\lambda}{r \cos \psi} \frac{\partial v}{\partial \varphi} + \frac{\lambda}{r} \left(\frac{\partial w}{\partial \psi} + 2u - w \operatorname{tg} \psi \right), \\ \sigma_{\varphi\varphi} &= \lambda \frac{\partial u}{\partial r} + \frac{2\mu + \lambda}{r} \left(\frac{1}{\cos \psi} \frac{\partial v}{\partial \varphi} - w \operatorname{tg} \psi \right) + \frac{\lambda}{r} \frac{\partial w}{\partial \psi} + (\mu + \lambda) \frac{2u}{r}, \\ \sigma_{\psi\psi} &= \lambda \frac{\partial u}{\partial r} + \frac{\lambda}{r \cos \psi} \frac{\partial v}{\partial \varphi} + \frac{2\mu + \lambda}{r} \frac{\partial w}{\partial \psi} + (\mu + \lambda) \frac{2u}{r} - \frac{\lambda}{r} w \operatorname{tg} \psi, \\ \sigma_{r\varphi} = \sigma_{\varphi r} &= \mu \left(\frac{\partial v}{\partial r} + \frac{1}{r \cos \psi} \frac{\partial u}{\partial \varphi} - \frac{v}{r} \right), \quad \sigma_{r\psi} = \sigma_{\psi r} = \mu \left(\frac{\partial w}{\partial r} + \frac{1}{r} \frac{\partial u}{\partial \psi} - \frac{w}{r} \right), \\ \sigma_{\varphi\psi} = \sigma_{\psi\varphi} &= \mu \left(\frac{1}{r \cos \psi} \frac{\partial w}{\partial \varphi} + \frac{1}{r} \frac{\partial v}{\partial \psi} + \frac{v}{r} \operatorname{tg} \psi \right).\end{aligned}$$

Компоненты вектора $\operatorname{div} \sigma$ примут вид:

$$\begin{aligned}(\operatorname{div} \sigma)_r &= \frac{\partial \sigma_{rr}}{\partial r} + \frac{1}{r \cos \psi} \frac{\partial \sigma_{r\varphi}}{\partial \varphi} + \frac{1}{r} \frac{\partial \sigma_{r\psi}}{\partial \psi} + \frac{2\sigma_{rr} - \sigma_{\varphi\varphi} - \sigma_{\psi\psi} - \sigma_{r\psi} \operatorname{tg} \psi}{r}, \\ (\operatorname{div} \sigma)_\varphi &= \frac{\partial \sigma_{\varphi r}}{\partial r} + \frac{1}{r \cos \psi} \frac{\partial \sigma_{\varphi\varphi}}{\partial \varphi} + \frac{1}{r} \frac{\partial \sigma_{\varphi\psi}}{\partial \psi} + \frac{3\sigma_{\varphi r} - 2\sigma_{\varphi\psi} \operatorname{tg} \psi}{r}, \\ (\operatorname{div} \sigma)_\psi &= \frac{\partial \sigma_{\psi r}}{\partial r} + \frac{1}{r \cos \psi} \frac{\partial \sigma_{\psi\varphi}}{\partial \varphi} + \frac{1}{r} \frac{\partial \sigma_{\psi\psi}}{\partial \psi} + \frac{3\sigma_{\psi r} + (\sigma_{\varphi\varphi} - \sigma_{\psi\psi}) \operatorname{tg} \psi}{r}.\end{aligned}$$

Приведем также развернутую форму записи радиальной компоненты вектора $\operatorname{div} \sigma$, которая используется в дальнейшем:

$$\begin{aligned}(\operatorname{div} \sigma)_r &= (2\mu + \lambda) \left(\frac{\partial^2 u}{\partial r^2} + \frac{2}{r} \frac{\partial u}{\partial r} - \frac{2u}{r^2} \right) + \frac{\mu}{r^2 \cos^2 \psi} \frac{\partial^2 u}{\partial \varphi^2} + \\ &+ \frac{\mu}{r^2} \left(\frac{\partial^2 u}{\partial \psi^2} - \operatorname{tg} \psi \frac{\partial u}{\partial \psi} \right) + \frac{\mu + \lambda}{r} \left(\frac{1}{\cos \psi} \frac{\partial^2 v}{\partial r \partial \varphi} + \frac{\partial^2 w}{\partial r \partial \psi} - \operatorname{tg} \psi \frac{\partial w}{\partial r} \right) - \\ &- \frac{3\mu + \lambda}{r^2} \left(\frac{1}{\cos \psi} \frac{\partial v}{\partial \varphi} + \frac{\partial w}{\partial \psi} - w \operatorname{tg} \psi \right).\end{aligned}\tag{1.4}$$

Вязкие слагаемые в правой части уравнения энергии имеют вид:

$$\begin{aligned}\operatorname{div}(\sigma \mathbf{v}) &= \frac{1}{r^2} \frac{\partial}{\partial r} \left(r^2 (u \sigma_{rr} + v \sigma_{r\varphi} + w \sigma_{r\psi}) \right) + \frac{1}{r \cos \psi} \frac{\partial}{\partial \varphi} (u \sigma_{\varphi r} + v \sigma_{\varphi\varphi} + w \sigma_{\varphi\psi}) + \\ &+ \frac{1}{r \cos \psi} \frac{\partial}{\partial \psi} (\cos \psi (u \sigma_{\psi r} + v \sigma_{\psi\varphi} + w \sigma_{\psi\psi})).\end{aligned}\tag{1.5}$$

2.Разностная схема

Остановимся на методе построения консервативной разностной схемы, аппроксимирующей уравнения системы (1.3), в которой влияние тензора вязких напряжений временно не учитывается, то есть вектор \mathbf{R}_σ считается нулевым.

Рассмотрим вспомогательную систему уравнений

$$\frac{\partial \mathbf{q}}{\partial t} + \frac{\partial \mathbf{F}}{\partial r} + \frac{\partial \mathbf{G}}{\partial \varphi} + \frac{\partial \mathbf{H}}{\partial \psi} = 0, \quad (2.1)$$

которая получается из инвариантных уравнений (1.1), если считать координаты (r, φ, ψ) не криволинейными сферическими, а прямоугольными декартовыми, и тензор σ нулевым. Предположим, что система (2.1) аппроксимируется какой-либо декартовой разностной схемой Годуновского типа [4], [5]

$$\frac{\hat{\mathbf{q}}_{ijk} - \mathbf{q}_{ijk}}{\tau} + \frac{\mathbf{F}_{i+1/2, jk} - \mathbf{F}_{i-1/2, jk}}{h_r} + \frac{\mathbf{G}_{ij+1/2, k} - \mathbf{G}_{ij-1/2, k}}{h_\varphi} + \frac{\mathbf{H}_{ijk+1/2} - \mathbf{H}_{ijk-1/2}}{h_\psi} = 0.$$

Здесь h_r, h_φ, h_ψ – шаги равномерной сетки по переменным r, φ и ψ соответственно, τ – шаг по времени, обозначение $\hat{\mathbf{q}}$ используется для сеточных функций, вычисляемых на следующем временном слое. В такой схеме сеточные потоки $\mathbf{F}_{i\pm 1/2, jk}, \mathbf{G}_{ij\pm 1/2, k}, \mathbf{H}_{ijk\pm 1/2}$ относятся к центрам соответствующих граней прямоугольной разностной ячейки, а при их построении обычно используются характеристические свойства системы (2.1) (см., например, [4]–[10]), определяемые свойствами матриц

$$\frac{\partial \mathbf{F}}{\partial \mathbf{q}}, \frac{\partial \mathbf{G}}{\partial \mathbf{q}}, \frac{\partial \mathbf{H}}{\partial \mathbf{q}}.$$

Важно отметить, что эти матрицы для систем (1.3) и (2.1) совпадают.

Будем исходить из того, что алгоритм вычисления разностных потоков в декартовой схеме известен. Потоки, вычисленные по этому алгоритму, далее будем относить к центрам граней сферической разностной ячейки, занумерованных индексами 1, 2, ..., 6 (см. рис.1). Тем самым, в центрах соответствующих граней ячейки считаются известными векторы:

$$\mathbf{F}_{1,3} = (\{\rho u\}, \{\rho u^2 + p\}, \{\rho uv\}, \{\rho uw\}, \{\rho uH\})_{1,3}^T,$$

$$\mathbf{G}_{2,4} = (\{\rho v\}, \{\rho vu\}, \{\rho v^2 + p\}, \{\rho vw\}, \{\rho vH\})_{2,4}^T,$$

$$\mathbf{H}_{5,6} = (\{\rho w\}, \{\rho wu\}, \{\rho wv\}, \{\rho w^2 + p\}, \{\rho wH\})_{5,6}^T.$$

Наличие фигурных скобок у компонент этих векторов означает, что известными предполагаются лишь указанные в скобках потоковые комбинации сеточных функций, а не все функции по отдельности.

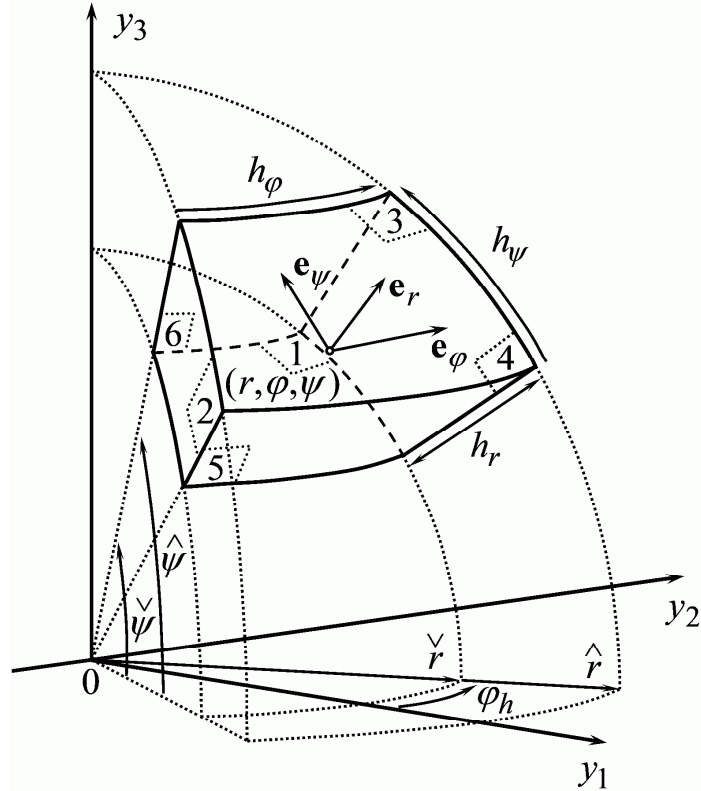


Рис.1. Сферическая разностная ячейка

Для учета криволинейности сферической разностной ячейки аппроксимируем интегральные соотношения баланса массы, импульса и энергии:

$$\begin{aligned}
 \int_V [\rho(t+\tau) - \rho(t)] dV + \int_t^{t+\tau} \int_{\Sigma} \rho(\mathbf{v}, \mathbf{n}) d\Sigma dt &= 0, \\
 \int_V [\rho(t+\tau)\mathbf{v}(t+\tau) - \rho(t)\mathbf{v}(t)] dV + \int_t^{t+\tau} \int_{\Sigma} [\rho(\mathbf{v}, \mathbf{n})\mathbf{v} + p\mathbf{n}] d\Sigma dt &= 0, \\
 \int_V [\rho(t+\tau)E(t+\tau) - \rho(t)E(t)] dV + \int_t^{t+\tau} \int_{\Sigma} \rho(\mathbf{v}, \mathbf{n})H d\Sigma dt &= 0, \quad (2.2)
 \end{aligned}$$

считая, что интегрирование ведется по объему ячейки V и ее границе Σ . При этом будем предполагать, что скорость \mathbf{v} имеет компоненты (u, v, w) в локальном базисе центра соответствующей грани. Это важно отметить, поскольку локальные базисы центров граней сферической ячейки с номерами 2,4,5 и 6 отличаются от локального базиса ее центра.

Пусть в какой-либо декартовой системе координат (y_1, y_2, y_3) с осями $(\mathbf{i}_1, \mathbf{i}_2, \mathbf{i}_3)$ грань $\tilde{\Sigma}$ разностной ячейки имеет параметризацию

$$y_m = y_m(\alpha, \beta); m = 1, 2, 3; (\alpha, \beta) \in \Omega_{\alpha\beta}.$$

Будем считать постоянными на грани $\tilde{\Sigma}$ вектор скорости $\mathbf{v} = (v_1, v_2, v_3)$ и скалярные функции ρ, p, H . Получим приближенное значение интеграла

$$\begin{aligned} \int_{\tilde{\Sigma}} \rho(\mathbf{v}, \mathbf{n}) d\Sigma &= \int_{\tilde{\Sigma}} \rho(v_1 n_1 + v_2 n_2 + v_3 n_3) d\Sigma \approx \\ &\approx \sum_{m=1}^3 \rho v_m \int_{\tilde{\Sigma}} n_m d\Sigma = \pm \sum_{m=1}^3 \rho v_m \int_{\Omega_{\alpha\beta}} \tilde{n}_m(\alpha, \beta) d\alpha d\beta = \pm \rho \sum_{m=1}^3 v_m \eta_m. \end{aligned}$$

Здесь использованы обозначения

$$\begin{aligned} \tilde{n}_1 &= \frac{\partial(y_2, y_3)}{\partial(\alpha, \beta)}, \quad \tilde{n}_2 = \frac{\partial(y_3, y_1)}{\partial(\alpha, \beta)}, \quad \tilde{n}_3 = \frac{\partial(y_1, y_2)}{\partial(\alpha, \beta)}, \\ \eta_m &= \int_{\Omega_{\alpha\beta}} \tilde{n}_m(\alpha, \beta) d\alpha d\beta, \quad m = 1, 2, 3. \end{aligned}$$

Тогда приближенные выражения для потоков массы, импульса и энергии через грань $\tilde{\Sigma}$ примут вид:

$$F_{\tilde{\Sigma}}^M = \rho(\mathbf{v}, \boldsymbol{\eta}) = \pm \rho \sum_{m=1}^3 v_m \eta_m, \quad F_{\tilde{\Sigma}}^I = F_{\tilde{\Sigma}}^M \mathbf{v} + p \boldsymbol{\eta}, \quad F_{\tilde{\Sigma}}^E = F_{\tilde{\Sigma}}^M H. \quad (2.3)$$

Здесь $\mathbf{v} = (v_1, v_2, v_3)$, $\boldsymbol{\eta} = \pm(\eta_1, \eta_2, \eta_3)$ в базисе $(\mathbf{i}_1, \mathbf{i}_2, \mathbf{i}_3)$, знак в выражении для вектора $\boldsymbol{\eta}$ определяется выбором внешней нормали грани $\tilde{\Sigma}$.

Далее аппроксимируем интегральные уравнения баланса (2.2) разностными соотношениями:

$$\rho_t \Delta V + \sum_{l=1}^6 F_l^M = 0, \quad (\rho \mathbf{v})_t \Delta V + \sum_{l=1}^6 F_l^I = 0, \quad (\rho E)_t \Delta V + \sum_{l=1}^6 F_l^E = 0. \quad (2.4)$$

Здесь ΔV – объем разностной ячейки, обозначение y_t используется для разностной производной вперед (по времени) сеточной функции, определенной в центре разностной ячейки. Важно отметить, что в разностном уравнении движения (2.4) скорость \mathbf{v} считается заданной в локальном базисе центра ячейки, поэтому к этому базису должны быть приведены векторы F_l^I , компоненты которых вычислялись в базисе $(\mathbf{i}_1, \mathbf{i}_2, \mathbf{i}_3)$.

Описанный метод применим при построении разностной схемы, аппроксимирующей уравнения (1.2) в произвольной ортогональной криволинейной системе координат. Однако для дальнейшей детализации уравнений (2.4) вернемся к сферическим координатам.

Пусть центр сферической ячейки имеет координаты (r, φ, ψ) . Далее будем использовать обозначения:

$$\varphi_h = h_\varphi / 2, \quad \tilde{h}_\psi = 2 \sin(h_\psi / 2),$$

$$\check{r} = r - h_r / 2, \hat{r} = r + h_r / 2, \check{\psi} = \psi - h_\psi / 2, \hat{\psi} = \psi + h_\psi / 2,$$

$$\mathbf{M}_3(\varphi) = \begin{bmatrix} \cos \varphi & -\sin \varphi & 0 \\ \sin \varphi & \cos \varphi & 0 \\ 0 & 0 & 1 \end{bmatrix}, \mathbf{M}_2(\psi) = \begin{bmatrix} \cos \psi & 0 & -\sin \psi \\ 0 & 1 & 0 \\ \sin \psi & 0 & \cos \psi \end{bmatrix};$$

а также значения следующих интегралов:

$$\int_{\check{r}}^{\hat{r}} \gamma d\gamma = rh_r, \int_{-\varphi_h}^{\varphi_h} d\gamma = h_\varphi, \int_{-\varphi_h}^{\varphi_h} \sin \gamma d\gamma = 0, \int_{-\varphi_h}^{\varphi_h} \cos \gamma d\gamma \approx h_\varphi,$$

$$\int_{\check{\psi}}^{\hat{\psi}} d\gamma = h_\psi, \int_{\check{\psi}}^{\hat{\psi}} \cos^2 \gamma d\gamma \approx h_\psi \cos^2 \psi, \int_{\check{\psi}}^{\hat{\psi}} \sin \gamma \cos \gamma d\gamma \approx h_\psi \sin \psi \cos \psi.$$

Здесь в приближенных выражениях отброшены слагаемые третьего порядка малости по шагам сетки h_φ и h_ψ .

Введем декартову систему координат (y_1, y_2, y_3) , ось y_3 которой совпадает с осью z , а плоскость (y_1, y_3) проходит через центр (r, φ, ψ) разностной ячейки (см. рис.1). Отметим, что базис $(\mathbf{i}_1, \mathbf{i}_2, \mathbf{i}_3)$ не совпадает с локальным (нормированным) базисом $(\mathbf{e}_r, \mathbf{e}_\varphi, \mathbf{e}_\psi)$ центра ячейки.

Выпишем приближенные значения потоков для грани с номером 1, параметрическое задание которой имеет вид:

$$y_1 = \check{r} \cos \alpha \cos \beta, y_2 = \check{r} \sin \alpha \cos \beta, y_3 = \check{r} \sin \beta; \alpha \in [-\varphi_h, \varphi_h], \beta \in [\check{\psi}, \hat{\psi}].$$

Для данной грани

$$\tilde{n}_1 = \check{r}^2 \cos \alpha \cos^2 \beta, \tilde{n}_2 = \check{r}^2 \sin \alpha \cos^2 \beta, \tilde{n}_3 = \check{r}^2 \sin \beta \cos \beta;$$

$$\boldsymbol{\eta} \approx -(\cos^2 \psi, 0, \sin \psi \cos \psi) \check{r}^2 h_\varphi h_\psi.$$

Поскольку локальный базис в центре участка границ с номером 1 получается поворотом базиса $(\mathbf{i}_1, \mathbf{i}_2, \mathbf{i}_3)$ относительно вектора \mathbf{i}_2 на угол ψ , компоненты скорости \mathbf{v} в базисе $(\mathbf{i}_1, \mathbf{i}_2, \mathbf{i}_3)$ имеют вид:

$$(\mathbf{v}_1, \mathbf{v}_2, \mathbf{v}_3) = \{(u, v, w)\}_1 \mathbf{M}_2(-\psi) = \{(u \cos \psi - w \sin \psi, v, u \sin \psi + w \cos \psi)\}_1.$$

Отсюда, учитывая, что $(\mathbf{v}, \boldsymbol{\eta}) \approx -\{u\}_1 \check{r}^2 h_\varphi h_\psi \cos \psi$, получим приближенные выражения (2.3) для потоков массы и энергии:

$$F_1^M = -\{\rho u\}_1 \check{r}^2 h_\varphi h_\psi \cos \psi, F_1^E = -\{\rho u H\}_1 \check{r}^2 h_\varphi h_\psi \cos \psi.$$

Для нахождения приближенного потока импульса в локальном базисе центра ячейки ($\mathbf{e}_r, \mathbf{e}_\varphi, \mathbf{e}_\psi$) также воспользуемся формулой преобразования компонент вектора при повороте базиса

$$\mathbf{F}_1^I = \left(F_1^M \{(u, v, w)\}_1 \mathbf{M}_2(-\psi) + p\boldsymbol{\eta} \right) \mathbf{M}_2(\psi) = F_1^M \{(u, v, w)\}_1 + p\boldsymbol{\eta} \mathbf{M}_2(\psi).$$

Отсюда с учетом равенства $\boldsymbol{\eta} \mathbf{M}_2(\psi) = -(\cos\psi, 0, 0) \check{r}^2 h_\varphi h_\psi$ получим

$$\mathbf{F}_1^I = -\left(\{\rho u^2 + p\}_1, \{\rho uv\}_1, \{\rho uw\}_1 \right) \check{r}^2 h_\varphi h_\psi \cos\psi.$$

Выражения для разностных потоков через грань 3 получаются из найденных для грани 1 путем смены знака и замены \check{r} на \hat{r} .

Далее перейдем к рассмотрению грани с номером 4, для которой:

$$y_1 = \alpha \cos \varphi_h \cos \beta, \quad y_2 = \alpha \sin \varphi_h \cos \beta, \quad y_3 = \alpha \sin \beta; \quad \alpha \in [\check{r}, \hat{r}], \quad \beta \in [\check{\psi}, \hat{\psi}];$$

$$\tilde{n}_1 = \alpha \sin \varphi_h, \quad \tilde{n}_2 = -\alpha \cos \varphi_h, \quad \tilde{n}_3 = 0; \quad \boldsymbol{\eta} = -(\sin \varphi_h, -\cos \varphi_h, 0) r h_r h_\psi.$$

Для получения значений компонент скорости \mathbf{v} в базисе ($\mathbf{i}_1, \mathbf{i}_2, \mathbf{i}_3$) необходимо осуществить последовательные преобразования:

$$(\mathbf{v}_1, \mathbf{v}_2, \mathbf{v}_3) = \{(u, v, w)\}_4 \mathbf{M}_2(-\psi) \mathbf{M}_3(-\varphi_h),$$

$$\{(u, v, w)\}_4 \mathbf{M}_2(-\psi) = \{(u \cos \psi - w \sin \psi, v, u \sin \psi + w \cos \psi)\}_4,$$

$$\mathbf{v}_1 = \{(u \cos \psi - w \sin \psi) \cos \varphi_h - v \sin \varphi_h\}_4,$$

$$\mathbf{v}_2 = \{(u \cos \psi - w \sin \psi) \sin \varphi_h + v \cos \varphi_h\}_4, \quad \mathbf{v}_3 = \{u \sin \psi + w \cos \psi\}_4.$$

Отсюда с учетом равенства $(\mathbf{v}, \boldsymbol{\eta}) = \{v\}_4 r h_r h_\psi$ получим

$$F_4^M = \{\rho v\}_4 r h_r h_\psi, \quad F_4^E = \{\rho v H\}_4 r h_r h_\psi.$$

Вычислим приближенный поток импульса $\mathbf{F}_4^I = (F_4^M \mathbf{v} + p\boldsymbol{\eta}) \mathbf{M}_2(\psi)$. Опуская слагаемые второго порядка малости по h_φ :

$$\mathbf{v} \mathbf{M}_2(\psi) \approx \left\{ (u - 0.5 h_\varphi v \cos \psi, v + 0.5 h_\varphi (u \cos \psi - w \sin \psi), w + 0.5 h_\varphi v \sin \psi) \right\}_4,$$

$$\boldsymbol{\eta} \mathbf{M}_2(\psi) \approx (-0.5 h_\varphi \cos \psi, 1, 0.5 h_\varphi \sin \psi) r h_r h_\psi.$$

Приходим к приближенным выражениям:

$$(F_4^I)_r = \left(\{\rho v u\}_4 - 0.5 h_\varphi \{\rho v^2 + p\}_4 \cos \psi \right) r h_r h_\psi,$$

$$(F_4^I)_\varphi = \left(\{\rho v^2 + p\}_4 + 0.5 h_\varphi \{\rho v u\}_4 \cos \psi - 0.5 h_\varphi \{\rho v w\}_4 \sin \psi \right) r h_r h_\psi,$$

$$(F_4^I)_\psi = \left(\{\rho v w\}_4 + 0.5 h_\varphi \{\rho v^2 + p\}_4 \sin \psi \right) r h_r h_\psi.$$

Выражения для разностных потоков через грань 2 получаются из найденных для грани 4 путем смены знака и замены h_φ на $-h_\varphi$.

Для грани с номером 6:

$$y_1 = \alpha \cos \beta \cos \hat{\psi}, y_2 = \alpha \sin \beta \cos \hat{\psi}, y_3 = \alpha \sin \hat{\psi}, \alpha \in [\check{r}, \hat{r}], \beta \in [-\varphi_h, \varphi_h];$$

$$\tilde{n}_1 = -\alpha \cos \beta \sin \hat{\psi} \cos \hat{\psi}, \tilde{n}_2 = -\alpha \sin \beta \sin \hat{\psi} \cos \hat{\psi}, \tilde{n}_3 = \alpha \cos^2 \hat{\psi};$$

$$\boldsymbol{\eta} \approx (-\sin \hat{\psi} \cos \hat{\psi}, 0, \cos^2 \hat{\psi}) r h_r h_\varphi.$$

Компоненты скорости \mathbf{v} в базисе $(\mathbf{i}_1, \mathbf{i}_2, \mathbf{i}_3)$

$$(v_1, v_2, v_3) = \{(u, v, w)\}_6 \mathbf{M}_2(-\hat{\psi}) = \{(u \cos \hat{\psi} - w \sin \hat{\psi}, v, u \sin \hat{\psi} + w \cos \hat{\psi})\}_6.$$

Отсюда с учетом равенства $(\mathbf{v}, \boldsymbol{\eta}) \approx \{w\}_6 r h_r h_\varphi \cos \hat{\psi}$ получим

$$F_6^M = \{\rho w\}_6 r h_r h_\varphi \cos \hat{\psi}, F_6^E = \{\rho w H\}_6 r h_r h_\varphi \cos \hat{\psi}.$$

Вычислим приближенный поток импульса $\mathbf{F}_6^I = (F_6^M \mathbf{v} + p \boldsymbol{\eta}) \mathbf{M}_2(\psi)$. Опущенная слагаемые второго и третьего порядка малости по h_ψ :

$$\mathbf{v} \mathbf{M}_2(\psi) \approx \{(u - 0.5 h_\psi w, v, w + 0.5 h_\psi u)\}_6,$$

$$\boldsymbol{\eta} \mathbf{M}_2(\psi) \approx \left(-0.5 h_\psi \cos \hat{\psi}, 0, \cos \hat{\psi} \right) r h_r h_\varphi.$$

Получим

$$(\mathbf{F}_6^I)_r = (\{\rho w u\}_6 - 0.5 h_\psi \{\rho w^2 + p\}_6) r h_r h_\varphi \cos \hat{\psi},$$

$$(\mathbf{F}_6^I)_\varphi = \{\rho w v\}_6 r h_r h_\varphi \cos \hat{\psi},$$

$$(\mathbf{F}_6^I)_\psi = (\{\rho w^2 + p\}_6 + 0.5 h_\psi \{\rho w u\}_6) r h_r h_\varphi \cos \hat{\psi}.$$

Выражения для разностных потоков через грань 5 получаются из найденных для грани 6 путем смены знака и замены h_ψ на $-h_\psi$, $\hat{\psi}$ на $\check{\psi}$.

Оправданным требованием к разностной схеме является ее точность на «фоновом» решении, то есть на решении с нулевой скоростью и постоянными плотностью и давлением. Поскольку для получения более компактных выражений при вычислении разностных потоков отбрасывались слагаемые второго и третьего порядка малости по шагам сетки, указанное требование выполняется лишь приближенно. Действительно, считая в выражениях для разностных потоков компоненты скорости равными нулю, а

давление постоянным, просуммируем потоки по всем границам разностной ячейки. В результате получим, что суммы компонент векторов F_l^I по r и ψ отличны от нуля:

$$rh_r h_\varphi h_\psi (\cos \psi - (\cos \hat{\psi} + \cos \check{\psi}) / 2) p \neq 0,$$

$$rh_r h_\varphi \sin \psi (h_\psi - \tilde{h}_\psi) p \neq 0.$$

Наиболее простым способом устранения указанного дисбаланса является замена во всех выражениях для приближенных потоков значения $\cos \psi$ на $\cos \tilde{\psi} = (\cos \hat{\psi} + \cos \check{\psi}) / 2$ и значения h_ψ на \tilde{h}_ψ . При этом порядок аппроксимации схемы (см. далее) не изменится.

С учетом указанных модификаций и выражения для объема сферической ячейки

$$\Delta V = \tilde{r}^2 h_r h_\varphi \tilde{h}_\psi \cos \psi, \quad \tilde{r}^2 = \left(r^2 + \frac{h_r^2}{12} \right), \quad \tilde{h}_\psi = 2 \sin \frac{h_\psi}{2}.$$

приходим к следующей разностной схеме:

$$\begin{aligned} & \rho_t \tilde{r}^2 h_r h_\varphi \tilde{h}_\psi \cos \psi + (\{\rho u\}_3 \hat{r}^2 - \{\rho u\}_1 \check{r}^2) h_\varphi \tilde{h}_\psi \cos \tilde{\psi} + \\ & + (\{\rho v\}_4 - \{\rho v\}_2) rh_r \tilde{h}_\psi + (\{\rho w\}_6 \cos \hat{\psi} - \{\rho w\}_5 \cos \check{\psi}) rh_r h_\varphi = 0, \\ & (\rho u)_t \tilde{r}^2 h_r h_\varphi \tilde{h}_\psi \cos \psi + (\{\rho u^2 + p\}_3 \hat{r}^2 - \{\rho u^2 + p\}_1 \check{r}^2) h_\varphi \tilde{h}_\psi \cos \tilde{\psi} + \\ & + (\{\rho v u\}_4 - 0.5 h_\varphi \{\rho v^2 + p\}_4 \cos \tilde{\psi}) rh_r \tilde{h}_\psi - \\ & - (\{\rho v u\}_2 + 0.5 h_\varphi \{\rho v^2 + p\}_2 \cos \tilde{\psi}) rh_r \tilde{h}_\psi + \\ & + (\{\rho w u\}_6 - 0.5 h_\psi \{\rho w^2 + p\}_6) rh_r h_\varphi \cos \hat{\psi} - \\ & - (\{\rho w u\}_5 + 0.5 h_\psi \{\rho w^2 + p\}_5) rh_r h_\varphi \cos \check{\psi} = 0, \\ & (\rho v)_t \tilde{r}^2 h_r h_\varphi \tilde{h}_\psi \cos \psi + (\{\rho u v\}_3 \hat{r}^2 - \{\rho u v\}_1 \check{r}^2) h_\varphi \tilde{h}_\psi \cos \tilde{\psi} + \\ & + (\{\rho v^2 + p\}_4 + 0.5 h_\varphi \{\rho v u\}_4 \cos \tilde{\psi} - 0.5 h_\varphi \{\rho v w\}_4 \sin \psi) rh_r \tilde{h}_\psi - \\ & - (\{\rho v^2 + p\}_2 - 0.5 h_\varphi \{\rho v u\}_2 \cos \tilde{\psi} + 0.5 h_\varphi \{\rho v w\}_2 \sin \psi) rh_r \tilde{h}_\psi + \\ & + (\{\rho w v\}_6 \cos \hat{\psi} - \{\rho w v\}_5 \cos \check{\psi}) rh_r h_\varphi = 0, \\ & (\rho w)_t \tilde{r}^2 h_r h_\varphi \tilde{h}_\psi \cos \psi + (\{\rho u w\}_3 \hat{r}^2 - \{\rho u w\}_1 \check{r}^2) h_\varphi \tilde{h}_\psi \cos \tilde{\psi} + \end{aligned}$$

$$\begin{aligned}
& +(\{\rho vw\}_4 + 0.5h_\varphi\{\rho v^2 + p\}_4 \sin \psi)rh_r\tilde{h}_\psi - \\
& -(\{\rho vw\}_2 - 0.5h_\varphi\{\rho v^2 + p\}_2 \sin \psi)rh_r\tilde{h}_\psi + \\
& +(\{\rho w^2 + p\}_6 + 0.5h_\psi\{\rho wu\}_6)rh_rh_\varphi \cos \hat{\psi} - \\
& -(\{\rho w^2 + p\}_5 - 0.5h_\psi\{\rho wu\}_5)rh_rh_\varphi \cos \check{\psi} = 0, \\
& (\rho E)_t \tilde{r}^2 h_r h_\varphi \tilde{h}_\psi \cos \psi + (\{\rho uH\}_3 \hat{r}^2 - \{\rho uH\}_1 \check{r}^2)h_\varphi \tilde{h}_\psi \cos \tilde{\psi} + \\
& +(\{\rho vH\}_4 - \{\rho vH\}_2)rh_r\tilde{h}_\psi + \\
& +(\{\rho wH\}_6 \cos \hat{\psi} - \{\rho wH\}_5 \cos \check{\psi})rh_rh_\varphi = 0. \tag{2.5}
\end{aligned}$$

Напомним, что в записи схемы используются следующие обозначения:

$$\hat{r} = r + h_r / 2, \check{r} = r - h_r / 2, \hat{\psi} = \psi + h_\psi / 2, \check{\psi} = \psi - h_\psi / 2,$$

$$\tilde{r}^2 = (r^2 + h_r^2 / 12), \tilde{h}_\psi = 2 \sin(h_\psi / 2), \cos \tilde{\psi} = (\cos \hat{\psi} + \cos \check{\psi}) / 2.$$

Далее покажем, что уравнения разностной схемы (2.5) имеют второй порядок аппроксимации по пространству при условии, что разностные потоки в базовой декартовой схеме вычисляются с тем же или более высоким порядком точности. Сделаем это на примере уравнения для радиальной компоненты скорости. Используем приближенные равенства, верные с точностью до слагаемых второго либо третьего порядка малости по шагам разностной сетки:

$$\tilde{r} \approx r, \tilde{h}_\psi \approx h_\psi, \hat{r}^2 \approx r^2 + rh_r, \check{r}^2 \approx r^2 - rh_r, \cos \tilde{\psi} \approx \cos \psi,$$

$$\cos \hat{\psi} \approx \cos \psi - 0.5h_\psi \sin \psi, \cos \check{\psi} \approx \cos \psi + 0.5h_\psi \sin \psi.$$

Подставляя эти выражения во второе уравнение (2.5), получим:

$$\begin{aligned}
& (\rho u)_t + \frac{\{\rho u^2 + p\}_3 - \{\rho u^2 + p\}_1}{h_r} + \frac{1}{r \cos \psi} \frac{\{\rho vu\}_4 - \{\rho vu\}_2}{h_\varphi} + \\
& + \frac{1}{r} \frac{\{\rho wu\}_6 - \{\rho wu\}_5}{h_\psi} = -\frac{1}{r} \left(\{\rho u^2 + p\}_3 + \{\rho u^2 + p\}_1 - \right. \\
& \left. - \frac{\{\rho v^2 + p\}_4 + \{\rho v^2 + p\}_2}{2} - \frac{\{\rho w^2 + p\}_6 + \{\rho w^2 + p\}_5}{2} - \right. \\
& \left. - \frac{\{\rho wu\}_6 + \{\rho wu\}_5}{2} \operatorname{tg} \psi + \frac{\{\rho w^2 + p\}_6 - \{\rho w^2 + p\}_5}{h_\psi} \frac{h_\psi^2}{4} \operatorname{tg} \psi \right).
\end{aligned}$$

Как легко видеть, в правой части системы возникает аппроксимация радиальной компоненты вектора \mathbf{R} исходной системы (1.3), согласованная с вычислением потоков. Второй порядок аппроксимации по пространству вытекает из симметрии полученного разностного уравнения относительно центра разностной ячейки.

3. Аппроксимация вязких слагаемых

Напомним, что в предыдущем пункте при построении разностной схемы (2.5) не учитывалось влияние тензора вязких напряжений $\boldsymbol{\sigma}$. Поэтому далее обсудим возможные модификации схемы, позволяющие аппроксимировать вязкие слагаемые в уравнениях (1.3), задаваемые вектором \mathbf{R}_σ .

Будем использовать безиндексные обозначения:

$$\bar{y} = \frac{y_{i+1/2,jk} + y_{i-1/2,jk}}{2}, \quad y_{\bar{r}} = \frac{y_{i+1/2,jk} - y_{i-1/2,jk}}{h_r}$$

для сеточных функций, определенных в центрах граней ячеек, и

$$y_{\bar{r}\bar{r}} = \frac{y_{i+1,jk} - 2y_{ijk} + y_{i-1,jk}}{h_r^2}, \quad y_r = \frac{y_{i+1,jk} - y_{ijk}}{h_r}, \quad y_r^\circ = \frac{y_{i+1,jk} - y_{i-1,jk}}{2h_r}$$

для сеточных функций, определенных в центрах ячеек. Аналогичные обозначения используются для средних значений и разностных производных по другим переменным.

Для аппроксимации вязких слагаемых в соответствии с уравнениями (1.2) введем добавки к разностным потокам:

$$\mathbf{F}_{i+1/2,jk}^{(2)} = \{\rho u^2 + p\}_{i+1/2,jk} - \mathbf{f}_{i+1/2,jk}^{(2)},$$

$$\mathbf{F}_{i+1/2,jk}^{(3)} = \{\rho uv\}_{i+1/2,jk} - \mathbf{f}_{i+1/2,jk}^{(3)}, \quad \mathbf{F}_{i+1/2,jk}^{(4)} = \{\rho uw\}_{i+1/2,jk} - \mathbf{f}_{i+1/2,jk}^{(4)}.$$

Аналогично вводятся добавки $\mathbf{g}_{ij+1/2k}^{(l)}$, $\mathbf{h}_{ijk+1/2}^{(l)}$ к потокам $\mathbf{G}_{ij+1/2k}^{(l)}$, $\mathbf{H}_{ijk+1/2}^{(l)}$, где $l=2,3,4$. Добавки аппроксимируют соответствующие компоненты тензора вязких напряжений $\boldsymbol{\sigma}$:

$$\mathbf{f}_{i+1/2,jk}^{(2)} = (2\mu + \lambda)u_{r,ijk} + \lambda \left(\frac{1}{r} \left[\frac{1}{\cos\psi} v_\varphi^\circ + w_\psi^\circ + 2u - w \operatorname{tg}\psi \right] \right)_{i+1/2,jk},$$

$$\mathbf{f}_{i+1/2,jk}^{(3)} = \mu v_{r,ijk} + \mu \left(\frac{1}{r} \left[\frac{1}{\cos\psi} u_\varphi^\circ - v \right] \right)_{i+1/2,jk},$$

$$\mathbf{f}_{i+1/2,jk}^{(4)} = \mu w_{r,ijk} + \mu \left(\frac{1}{r} \left[u_\psi^\circ - w \right] \right)_{i+1/2,jk},$$

$$\begin{aligned}
\mathbf{g}_{ij+1/2k}^{(2)} &= \frac{\mu}{r_i} \left(\frac{1}{\cos \psi_k} u_{\varphi,ijk} - v_{ij+1/2k} \right) + \mu v_{r,ij+1/2k}^{\circ}, \\
\mathbf{g}_{ij+1/2k}^{(3)} &= \frac{2\mu + \lambda}{r_i} \left(\frac{1}{\cos \psi_k} v_{\varphi,ijk} + u_{ij+1/2k} - w_{ij+1/2k} \operatorname{tg} \psi_k \right) + \\
&\quad + \frac{\lambda}{r_i} \left(w_{\psi}^{\circ} + u \right)_{ij+1/2k} + \lambda u_{r,ij+1/2k}^{\circ}, \\
\mathbf{g}_{ij+1/2k}^{(4)} &= \frac{\mu}{r_i} \left(\frac{1}{\cos \psi_k} w_{\varphi,ijk} + v_{\psi,ij+1/2k}^{\circ} + v_{ij+1/2k} \operatorname{tg} \psi_k \right), \\
\mathbf{h}_{ijk+1/2}^{(2)} &= \frac{\mu}{r_i} \left(u_{\psi,ijk} - w_{ijk+1/2} \right) + \mu w_{r,ijk+1/2}^{\circ}, \\
\mathbf{h}_{ijk+1/2}^{(3)} &= \frac{\mu}{r_i} v_{\psi,ijk} + \frac{\mu}{r_i} \left(\frac{1}{\cos \psi} w_{\varphi}^{\circ} + v \operatorname{tg} \psi \right)_{ijk+1/2}, \\
\mathbf{h}_{ijk+1/2}^{(4)} &= \frac{2\mu + \lambda}{r_i} \left(w_{\psi,ijk} + u_{ijk+1/2} \right) + \\
&\quad + \frac{\lambda}{r_i} \left(\frac{1}{\cos \psi} v_{\varphi}^{\circ} + u - w \operatorname{tg} \psi \right)_{ijk+1/2} + \lambda u_{r,ijk+1/2}^{\circ}. \tag{3.1}
\end{aligned}$$

Здесь сеточные функции с полуцелыми индексами в правых частях, относящиеся к центрам граней ячейки, вычисляются как полусумма значений этих функций в соответствующих смежных ячейках.

Разностное уравнение движения для радиальной компоненты скорости схемы (2.5) с точностью до слагаемых второго порядка малости по шагам сетки может быть записано в виде:

$$(\rho u)_t = -\mathbf{F}_{\bar{r}}^{(2)} - \frac{2}{r} \bar{\mathbf{F}}^{(2)} - \frac{1}{r \cos \psi} \mathbf{G}_{\bar{\varphi}}^{(2)} + \frac{1}{r} \bar{\mathbf{G}}^{(3)} - \frac{1}{r} \mathbf{H}_{\bar{\psi}}^{(2)} + \frac{\operatorname{tg} \psi}{r} \bar{\mathbf{H}}^{(2)} + \frac{1}{r} \bar{\mathbf{H}}^{(4)}.$$

После подстановки выражений для модифицированных потоков в это уравнение и приведения подобных слагаемых получим:

$$\begin{aligned}
(\operatorname{div}_h \boldsymbol{\sigma})_r &= \mathbf{f}_{\bar{r}}^{(2)} + \frac{2}{r} \bar{\mathbf{f}}^{(2)} + \frac{1}{r \cos \psi} \mathbf{g}_{\bar{\varphi}}^{(2)} - \frac{1}{r} \bar{\mathbf{g}}^{(3)} + \frac{1}{r} \mathbf{h}_{\bar{\psi}}^{(2)} - \frac{\operatorname{tg} \psi}{r} \bar{\mathbf{h}}^{(2)} - \frac{1}{r} \bar{\mathbf{h}}^{(4)} = \\
&= (2\mu + \lambda) \left(u_{\bar{r}\bar{r}} + \frac{2}{r} u_r^{\circ} - \frac{2u}{r^2} \right) + \frac{\mu}{r^2 \cos^2 \psi} u_{\bar{\varphi}\bar{\varphi}} + \frac{\mu}{r^2} \left(u_{\bar{\psi}\bar{\psi}} - u_{\bar{\psi}}^{\circ} \operatorname{tg} \psi \right) + \\
&\quad + \frac{\mu + \lambda}{r} \left(\frac{1}{\cos \psi} v_{r\bar{\varphi}}^{\circ} + w_{r\bar{\psi}}^{\circ} - w_r^{\circ} \operatorname{tg} \psi \right) - \frac{3\mu + \lambda}{r^2} \left(\frac{1}{\cos \psi} v_{\bar{\varphi}}^{\circ} + w_{\bar{\psi}}^{\circ} - w \operatorname{tg} \psi \right) + \Psi_r.
\end{aligned}$$

Здесь Ψ_r – слагаемые второго порядка малости по шагам сетки. Сопоставляя полученное выражение с дифференциальным выражением (1.4),

несложно показать второй порядок аппроксимации радиальной компоненты вектора $\text{div}\boldsymbol{\sigma}$. Аналогично показывается аппроксимация со вторым порядком вязких слагаемых в оставшихся уравнениях движения.

В уравнении энергии добавки к разностным потокам вводятся следующим образом (см. последнее уравнение системы(1.2)):

$$\mathbf{F}_{i+1/2,jk}^{(5)} = \{\rho u H\}_{i+1/2,jk} - \mathbf{f}_{i+1/2,jk}^{(5)}, \quad \mathbf{f}_{i+1/2,jk}^{(5)} = (u\mathbf{f}^{(2)} + v\mathbf{f}^{(3)} + w\mathbf{f}^{(4)})_{i+1/2,jk},$$

добавки $\mathbf{g}_{ij+1/2k}^{(5)}$, $\mathbf{h}_{ijk+1/2}^{(5)}$ к потокам $\mathbf{G}_{ij+1/2k}^{(5)}$, $\mathbf{H}_{ijk+1/2}^{(5)}$ вводятся аналогично.

Подставляя эти выражения в разностное уравнение энергии схемы (2.5), записанное с точностью до слагаемых второго порядка малости в виде

$$(\rho E)_t = -\mathbf{F}_{\bar{r}}^{(5)} - \frac{2}{r}\bar{\mathbf{F}}^{(5)} - \frac{1}{r\cos\psi}\mathbf{G}_{\bar{\varphi}}^{(5)} - \frac{1}{r}\mathbf{H}_{\bar{\psi}}^{(5)} + \frac{\text{tg}\psi}{r}\bar{\mathbf{H}}^{(5)},$$

получим

$$\begin{aligned} \text{div}_h(\boldsymbol{\sigma}\mathbf{v}) &= \mathbf{f}_{\bar{r}}^{(5)} + \frac{2}{r}\bar{\mathbf{f}}^{(5)} + \frac{1}{r\cos\psi}\mathbf{g}_{\bar{\varphi}}^{(5)} + \frac{1}{r}\mathbf{h}_{\bar{\psi}}^{(5)} - \frac{\text{tg}\psi}{r}\bar{\mathbf{h}}^{(5)} = \\ &= \frac{1}{r^2}\left(r^2\left(u\mathbf{f}^{(2)} + v\mathbf{f}^{(3)} + w\mathbf{f}^{(4)}\right)\right)_{\bar{r}} + \frac{1}{r\cos\psi}\left(u\mathbf{g}^{(2)} + v\mathbf{g}^{(3)} + w\mathbf{g}^{(4)}\right)_{\bar{\varphi}} + \\ &\quad + \frac{1}{r\cos\psi}\left(\cos\psi\left(u\mathbf{h}^{(2)} + v\mathbf{h}^{(3)} + w\mathbf{h}^{(4)}\right)\right)_{\bar{\psi}} + \Psi_E. \end{aligned}$$

Здесь Ψ_E – слагаемые второго порядка малости по шагам сетки. Поскольку добавки к разностным потокам со вторым порядком аппроксимируют соответствующие компоненты тензора вязких напряжений $\boldsymbol{\sigma}$ на гранях разностной ячейки, сопоставляя полученное выражение с дифференциальным выражением (1.5), несложно показать второй порядок аппроксимации вязких слагаемых в разностном уравнении энергии.

4. Результаты тестовых расчетов

В тестовых расчетах, описываемых в данном пункте, в качестве базовой использовалась декартова разностная схема годуновского типа третьего порядка аппроксимации. Потоки первого порядка в этой схеме вычислялись методом Роу [8] с модификациями Эйнфельдта [9]. Повышение порядка аппроксимации схемы до третьего осуществлялось путем коррекции потоков методом Ошера [10]. Схема для сферических координат строилась в соответствии с разностными уравнениями (2.5). Влияние тензора вязких напряжений учитывалось путем введения добавок к сеточным потокам (3.1).

В качестве первого теста была выбрана задача о распаде разрыва внутри непротекаемой сферы радиуса $r=9$. В шаре с центром в точке $r=5$, $\varphi=\pi$, $\psi=0$ радиуса 2 значения плотности и давления покоящегося

ся невязкого газа выбирались равными $\rho \approx 1.7$ и $p \approx 2.5$, в остальных точках расчетной области – $\rho = 1$ и $p = 1$. При таких значениях параметров разрыва на периферию расчетной области распространяется ударная волна, которая впоследствии отражается от непротекаемой границы области (см. рис.2).

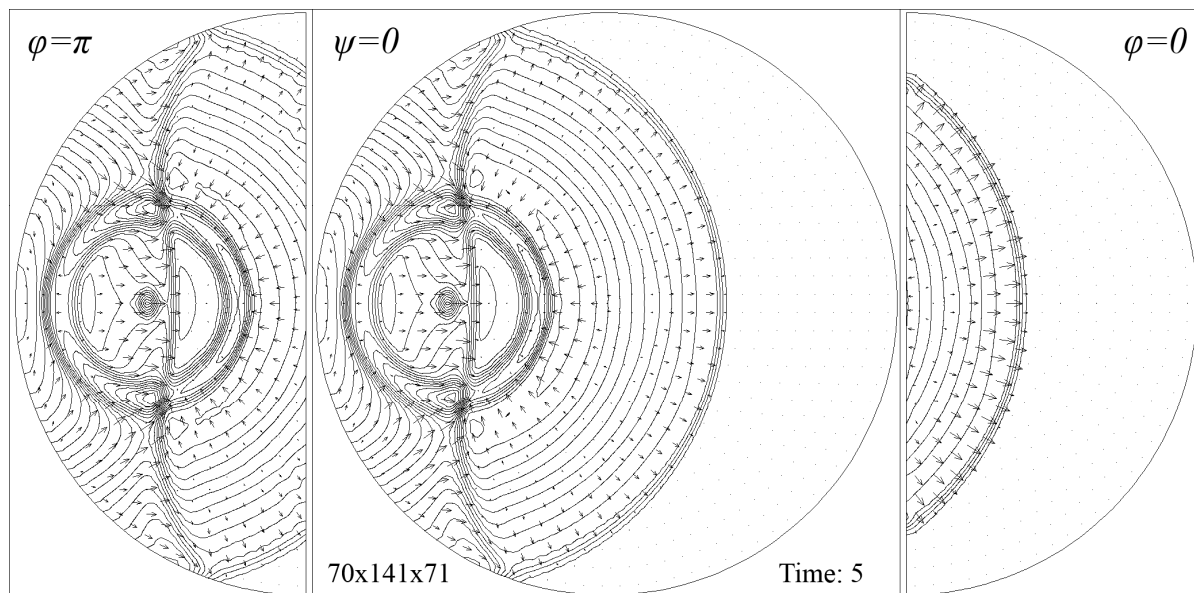


Рис.2. Расчет распада разрыва при $T = 5$ (плотность и скорость)

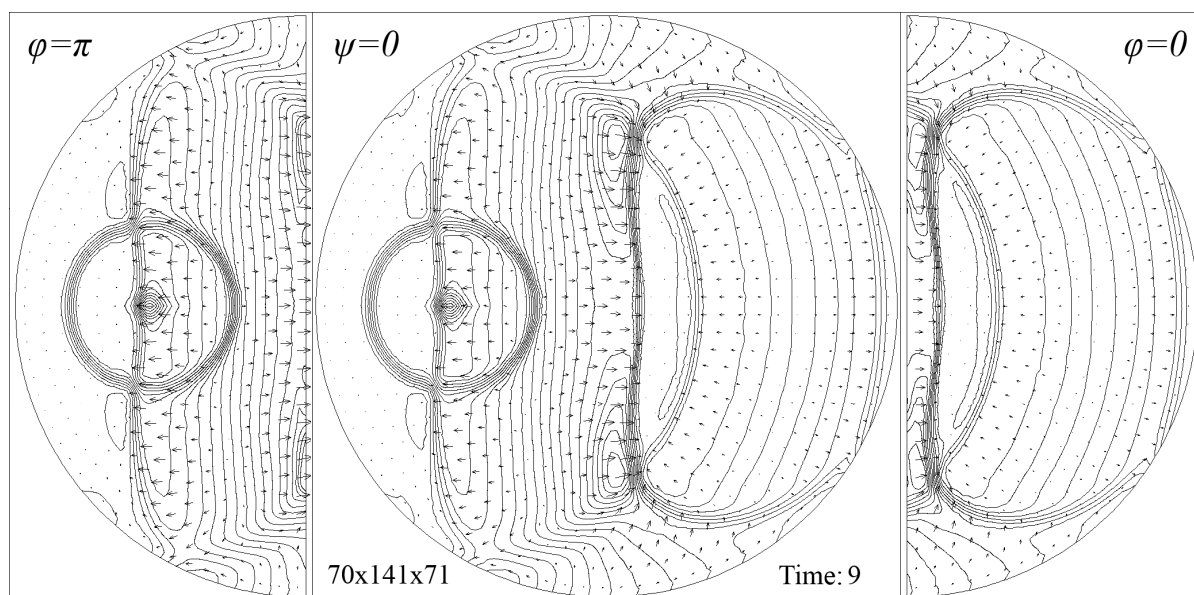


Рис.3. Расчет распада разрыва при $T = 9$

Важно отметить, что расчетная область содержит отрезок прямой $\psi = \pm\pi/2$ и, в частности, точку $r = 0$. Указанные точки являются особыми для исходной системы дифференциальных уравнений (1.3). В разностной схеме эта особенность проявляется в том, что соответствующие границы ячеек сетки, примыкающих к оси $\psi = \pm\pi/2$, вырождаются в отрезки или в

точки. Однако форма разностных уравнений (2.5) при этом не изменяется, что позволяет вести однородные вычисления во всех узлах сетки.

На рис.2 и рис.3 представлены результаты расчета распада разрыва на равномерной сетке $70 \times 141 \times 71$ разностных ячеек по переменным r, φ и ψ соответственно. На рисунках представлены линии уровня плотности и поле скоростей газа в различные моменты времени T в трех сечениях расчетной области: $\varphi = \pi, \psi = 0$ и $\varphi = 0$. Здесь следует отметить, что, поскольку сеточные функции относятся к центрам разностных ячеек, значения для сечения $\varphi = 0$ берутся из ближайших ячеек, где $\varphi = h_r/2$.

Как видно на рисунках, фронты ударных волн проходят через ось $\psi = \pm \pi/2$ без каких-либо искажений их формы. При этом важно отметить обусловленную выбором начальных данных симметрию течения в соответствующих сечениях, которая присутствует, несмотря на то, что исходная система дифференциальных уравнений (1.3) и аппроксимирующая ее разностная схема (2.5) не имеет симметрии по переменным φ и ψ .

В качестве второго теста была выбрана задача об обтекании шара плоскопараллельным потоком газа. Рассчитывались течения при дозвуковом и сверхзвуковом обтекании как для случая невязкого, так и для случая вязкого газа. Расчетная область $r_1 \leq r \leq r_2$ представляла собой пространство между двумя сферами с общим центром. На внутренней границе области задавались условия непротекания, на внешней границе при $\pi/2 \leq \varphi \leq 3\pi/2$ – параметры набегающего плоскопараллельного потока: $\rho = \gamma = 1.4, u = M \cos \varphi \cos \psi, v = -M \sin \varphi, w = -M \cos \varphi \sin \psi, p = 1$, где M – число Маха. Эти же параметры газа задавались в качестве начальных данных во всех узлах разностной сетки. На внешней границе области при $0 \leq \varphi < \pi/2$ и $3\pi/2 < \varphi \leq 2\pi$ задавались свободные граничные условия. Расчеты проводились на квазиравномерной разностной сетке [11], узлы которой по углам φ и ψ сгущались за обтекаемым шаром.

На рис.4 представлено сравнение результатов эксперимента по обтеканию шара сверхзвуковым потоком невязкого газа при $M = 1.53$ и расчета с тем же числом Маха. Расчеты проводились на сетке $100 \times 201 \times 81$ разностных ячеек при $r_1 = 0.2, r_2 = 6$. Фотография картины течения, наблюдаемого в ходе эксперимента, взята из альбома гидродинамических течений [17]. В этом издании, к сожалению, не приводятся все параметры, необходимые для проведения расчетов, в точности соответствующих экспериментам. Однако можно говорить о качественном сходстве. В частности, форма фронта и положение отошедшей ударной волны в расчетном течении совпадают с экспериментальными.

На рис.4 и последующих рисунках приведены линии уровня плотности и поле скоростей газа в сечении расчетной области $\psi = 0$. В других

сечениях расчетной области, параллельных набегающему потоку и проходящих через начало координат, картина течения отличается от представленной на рисунках лишь в области неустойчивости за обтекаемым шаром.

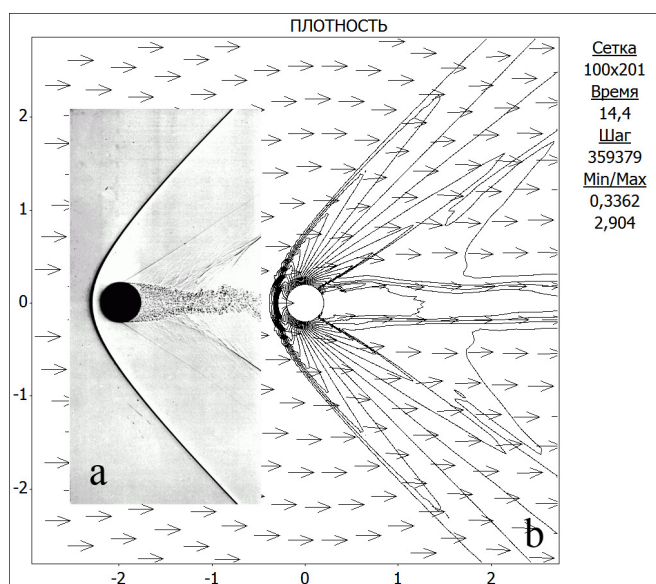


Рис.4. Обтекание шара при $M = 1.53$: а) эксперимент (Charters A.C.), б) расчет на сетке $100 \times 201 \times 81$ ячеек

Далее приведем результаты расчетов дозвукового обтекания шара при $M = 0.9$. Расчеты проводились на сетке $80 \times 161 \times 81$ разностных ячеек при $r_1 = 0.4$, $r_2 = 6$. В случае вязкого газа коэффициенты вязкости выбирались равными $\mu = 10^{-3}$ и $\lambda = -2\mu/3$. При этом число Рейнольдса, рассчитанное по диаметру обтекаемого шара, скорости и плотности набегающего потока, приблизительно равняется $Re \approx 1000$. На рис.5 и рис.6 представлено сравнение результатов расчетов для случаев невязкого и вязкого газа на различные моменты времени. Характерным элементом течения здесь является возникновение присоединенных к поверхности обтекаемого шара ударных волн, которые разделяют устойчивую и турбулентную зоны течения. Подобная картина наблюдается [17] и в ходе экспериментов по дозвуковому обтеканию тел при числах Маха близких к единице.

Как видно на рис.5, неустойчивое течение за обтекаемым шаром начинает развиваться раньше в случае невязкого газа. Однако в более поздние моменты времени турбулентность возникает и в случае вязкого газа, причем ее проявления более ярко выражены по сравнению с невязким случаем (см. рис.6). Тем не менее, следует отметить, что различия в характере течения в случаях невязкого и вязкого газа при обтекании шара не являются столь существенными, как при обтекании цилиндра с тем же числом Маха [11].

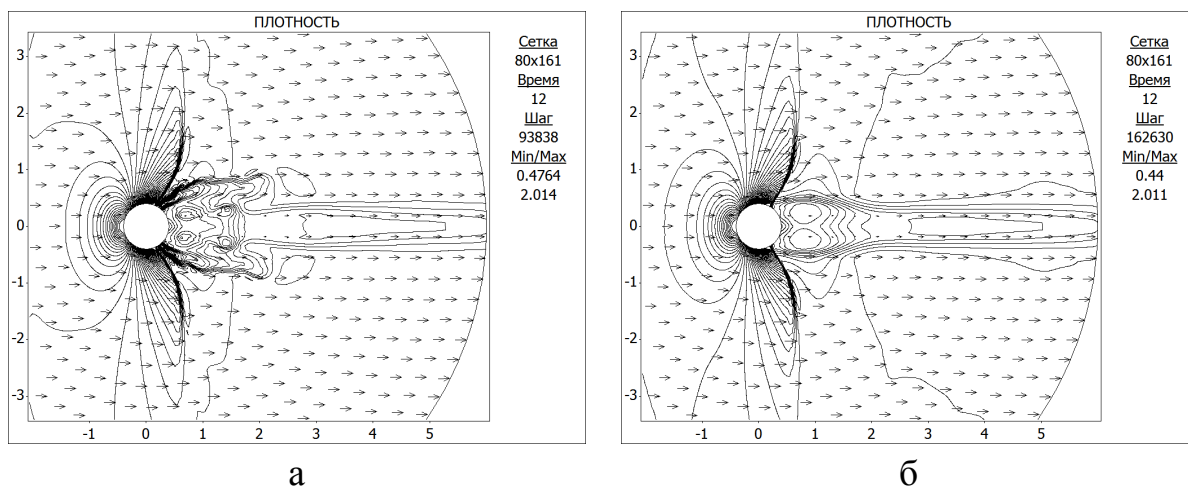


Рис.5. Обтекание шара при $M = 0.9$, $T = 12$: а) без вязкости, б) $Re \approx 1000$

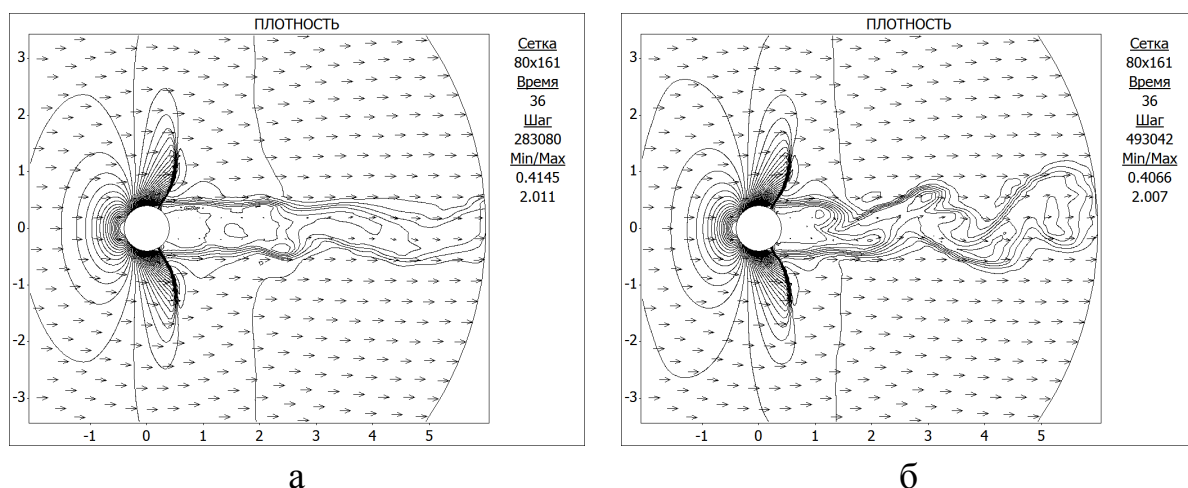


Рис.6. Обтекание шара при $M = 0.9$, $T = 36$: а) без вязкости, б) $Re \approx 1000$

Литература

1. Тихонов А.Н., Самарский А.А. О сходимости разностных схем в классе разрывных коэффициентов. – Доклады АН СССР, т.124, с.529, 1959.
2. Самарский А.А. Теория разностных схем. – 3-е изд. – М.: Наука, 1989.
3. Самарский А.А., Попов Ю.П. Разностные методы решения задач газовой динамики. – М.:Наука, 1980.
4. Годунов С.К. Разностный метод численного расчета разрывных решений гидродинамики. – Математический сборник, 47(89), с.271, 1959.
5. Годунов С.К., Забродин А.В., Прокопов Г.П. Разностная схема для двумерных нестационарных задач газовой динамики и расчет обте-

- кания с отошедшей ударной волной. – Журн. вычисл. математики и мат. физики, т.1, с.1020, 1961.
6. Osher S., Solomon F. Upwind difference schemes for hyperbolic systems of conservation laws. – Math. Comput., v.38, p.339, 1982.
 7. Harten A., Lax P.D., Van Leer B. On upstream differencing and Godunov-type schemes for hyperbolic conservation laws. – SIAM Rev., v.25, p.35, 1983.
 8. Roe P.L. Characteristic-based schemes for the Euler equations. – Ann. Rev. Fluid Mech., v.18, p.337, 1986.
 9. Einfeldt B. On Godunov-type methods for gas dynamics. – SIAM J. Numer. Anal., v.25, p.294, 1988.
 10. Chakravarthy S.R., Osher S. A new class of high accuracy TVD schemes for hyperbolic conservation laws. – AIAA Pap., №85-0363, 1985.
 11. Абакумов М.В. Метод построения разностных схем годуновского типа в криволинейных координатах и его применение для цилиндрических координат. – Прикладная математика и информатика, №43, сс. 25-44, М.: МАКС Пресс, 2013.
 12. Ландау Л.Д., Лифшиц Е.М. Гидродинамика. Серия Теор. физ., Т.4. – М.: Наука, 1986.
 13. Лойцянский Л.Г. Механика жидкости и газа: Учеб. для ВУЗов. – 7-е изд., испр. – М.: Дрофа, 2003.
 14. Седов Л.И. Механика сплошной среды. Том 1. – М.: Наука, 1970.
 15. Кочин Н.Е. Векторное исчисление и начала тензорного исчисления. – М.: Наука, 1965.
 16. Абакумов М.В., Фаворский А.П., Хруленко А.Б. Представление уравнений Навье-Стокса в криволинейных координатах. – М.: Препринт МАКС Пресс, 2011.
 17. Van Dyke M. An Album of Fluid Motion. – Stanford: Parabolic Press., 1982